

УДК 532.526.013.4

ВОЗБУЖДЕНИЕ ВОЛН ТОЛМИНА — ШЛИХТИНГА В СВЕРХЗВУКОВОМ ПОГРАНИЧНОМ СЛОЕ ЗВУКОМ

ГАПОНОВ С. А.

Рассматривается взаимодействие звука со сверхзвуковым пограничным слоем. В силу зависимости основного потока от продольной координаты звуковая волна порождает внутри слоя неустойчивые колебания. Расчеты, проводимые для числа Маха $M=2,0$ и безразмерной частоты $2\pi f v_0 / U_0^2 = 0,91 \cdot 10^{-4}$, показали, что вблизи нижней ветви кривой нейтральной устойчивости может быть возбуждена волна Толмина — Шлихтинга, превышающая по интенсивности внешнюю звуковую волну в 2–3 раза.

1. Вопрос о восприимчивости пограничного слоя к внешним возмущениям широко обсуждается в научной литературе [1–3]. В ряде работ рассмотрена возможность порождения волн Толмина — Шлихтинга на неоднородностях течения. Например, в [4] решена задача нестационарного обтекания отдельной неровности, в области которой осуществляется передача энергии звукового поля волне Толмина — Шлихтинга. Несколько раньше [5, 6] рассматривалась аналогичная возможность возбуждения гидродинамических волн в области передней кромки пластины и отдельной неровности. В силу того что в первом случае область преобразования (передняя кромка) и область усиления сильно разнесены, трудно объяснить влияние внешних возмущений на переход через этот механизм. Если же область сильно неоднородного течения (например, путем введения элемента неровности [4]) расположена в достаточно протяженной неустойчивой области, то уже в рамках линейной теории объясняется влияние звукового поля на переход.

Для дозвуковых течений эффективное порождение волн Толмина — Шлихтинга как монохроматической звуковой волной, так и внешними вихревыми возмущениями возможно только на сильных неоднородностях, так как длины и фазовые скорости этих волн сильно отличаются от собственных колебаний пограничного слоя, что продемонстрировано экспериментально в [3]. Принципиальная возможность порождения имеется и в случае слабой неоднородности потока (например, течение в пограничном слое при больших числах Рейнольдса), и в [7] предлагается соответствующий метод расчета. Теоретические данные [6], полученные на основе численного интегрирования нестационарных уравнений Навье — Стокса, в целом подтвердили вывод относительно интенсивного порождения собственных колебаний пограничного слоя на сильных неоднородностях звуком.

В случае сверхзвуковых скоростей длины звуковых волн и гидродинамических, а также их фазовые скорости могут быть близкими между собой. Поэтому для взаимного их порождения достаточно слабая неоднородность течения. Вопрос о близости непрерывного (звуковые волны) и дискретного (волны Толмина — Шлихтинга) спектров обсуждается в [8]. Возможность эффективного порождения неустойчивых волн использовалась в [9] для расчетов зависимости положения перехода от внешнего спектра звуковых колебаний. Однако в [9] не рассчитывались сами коэффициенты порождения, а предполагалось, что максимальное значение волны Толми-

на — Шлихтинга вблизи нижней ветви кривой нейтральной устойчивости равно амплитуде колебаний, вызванных внешней звуковой волной. При этом во многих случаях рассматривались двумерные звуковые волны (см. [2]), а собственные колебания пограничного слоя — трехмерные при совпадении (или слабом отличии) фазовых скоростей.

Ниже предлагается приближенная методика расчета скорости нарастания волны Толмина — Шлихтинга в пограничном слое на плоской пластине три воздействия монохроматической волны, произвольно ориентированной в пространстве. Взаимодействие звука со сверхзвуковым пограничным слоем в приближении плоскопараллельного течения рассмотрено в [10, 11]. Было показано, что в свободном потоке (вне пограничного слоя) кроме падающей волны $\sim \exp(i\lambda y)$ имеется отраженная $\sim \exp(-i\lambda y)$. Внутри пограничного слоя, как и во внешней его части, наблюдаются возмущения только с волновым вектором в плоскости x, z , совпадающим с волновым вектором звуковой волны (α_0, β_0) . В силу непараллельности течения при таком взаимодействии возникают волны разных масштабов, в том числе и волны Толмина — Шлихтинга.

2. В случае двумерного стационарного основного течения линеаризованные уравнения Навье — Стокса относительно возмущений типа $q(y, x)\exp(i\beta_0 z - i\omega_0 t)$ могут быть приведены к виду (аналогично [12])

$$\frac{\partial Z_i}{\partial y} - B_{ij}^0 Z_j - B_{ij}^1 \frac{\partial Z_j}{\partial x} = 0 \quad (2.1)$$

Здесь $Z = Z(u', \partial u'/\partial y, v', w', \partial w'/\partial y, P', T', \partial T'/\partial y)$ — вектор, составленный из амплитуд возмущений скорости (u', v', w') , давления P' , температуры T' и производных по y : $\partial u'/\partial y, \partial w'/\partial y, \partial T'/\partial y$, B_{ij}^e — медленно меняющиеся функции x . Повторяющиеся индексы обозначают суммирование.

Система (2.1) будет совпадать с аналогичной системой работы [12], если считать, что $B_{ij}^0 = a_{ij}^0 + b_{ij}/X$, где a_{ij}^0, b_{ij} — коэффициенты работы [12]. Кроме того, здесь рассматриваются трехмерные возмущения и система (2.1) представляет соответствующее обобщение уравнений для двумерных возмущений, рассмотренных в [12].

В случае плоскопараллельного потока (2.1) допускает решения вида $Z(y)\exp(i\alpha x)$ и тем самым она приводится к уравнениям

$$\frac{dZ_i}{dy} - B_{ij}^0 Z_j - iB_{ij}^1 \alpha Z_j = 0 \quad (2.2)$$

Вместе с граничными условиями

$$Z_1(0) = Z_3(0) = Z_4(0) = Z_7(0) = 0 \quad (2.3)$$

$$Z_1(\infty), Z_3(\infty), Z_4(\infty), Z_7(\infty) < B$$

(2.2) определяет задачу на собственные значения. Так как (2.2) — (2.3) определена в полуограниченной по y области, имеются дискретная и непрерывная части спектра по α при фиксированной частоте ω и волновом числе β . Существование непрерывного спектра для сверхзвуковых скоростей обсуждается в [8], а для дозвуковых течений непрерывный спектр изучался в [13].

Пусть общее решение системы (2.1) записывается в виде

$$Z = \Delta Z + Z_0^\alpha(\epsilon, x, y)\exp(i\alpha_0 x) \quad (2.4)$$

где Z_0^α — решение задачи (2.2) — (2.3) при $\alpha = \alpha_0$. Во внешней части пограничного слоя Z_0^α определяется падающей и отраженной звуковыми волнами. Коэффициент отражения и распределение Z_0^α внутри пограничного слоя параметрически зависят от продольной координаты в силу зависимости B_{ij}^1 от x . Подстановка (2.4) в (2.1) приводит к системе уравне-

ний с правой частью

$$\frac{\partial(\Delta Z_i)}{\partial y} - B_{ij}^0(\Delta Z_j) - B_{ij}^1 \frac{\partial(\Delta Z_j)}{\partial x} = -B_{ij}^1 \frac{\partial Z_{j0}^\alpha}{\partial x} \exp(i\alpha_0 x) \quad (2.5)$$

Из-за слабой зависимости B_{ij}^1 от x можно искать решение в виде суммы

$$\Delta Z = \sum_n Z^k(\epsilon x, y) e^{i\alpha^k x} + \int Z^\alpha(\epsilon x, y) e^{i\alpha x} d\alpha \quad (2.6)$$

где Z^k, Z^α — решения задачи (2.2)–(2.3), а интеграл берется по всей области непрерывного спектра волновых чисел α при фиксированной частоте и волновом числе в боковом направлении.

Введем понятие скалярного произведения двух вектор-функций (ср. [7])

$$(A^k, A^m) = \int_0^\infty A_i^k A_i^m dy$$

Подставляя (2.6) в (2.5) и умножая скалярно полученное уравнение на вектор-функцию сопряженной задачи φ^k , получаем

$$\left(B^1 \frac{\partial Z^k}{\partial x}, \varphi^k \right) e^{i\alpha^k x} = - \left(B^1 \frac{\partial Z^{\alpha^0}}{\partial x}, \varphi^k \right) e^{i\alpha_0 x} \quad (2.7)$$

Сопряженная к (2.2)–(2.3) задача, связанная с дискретным спектром, имеет вид

$$\frac{d\varphi_i}{dy} + B_{ji}^0 \varphi_j + i\alpha B_{ji}^1 \varphi_j = 0 \\ \varphi_2 = \varphi_5 = \varphi_6 = \varphi_8 = 0 \quad (y=0, \infty)$$

Можно построить сопряженную задачу и для непрерывного спектра, но она не требовалась в данной работе и потому не обсуждается.

Функция Z_0^α полностью определяется после решения задачи о взаимодействии звуковой волны с пограничным слоем в приближении плоскопараллельного течения, а Z^k находится с точностью до произвольной функции x . Поэтому можно принять $Z^k = A^k(x) Z'^k(y)$, где Z'^k — определенным образом нормированная функция (например, $Z_2'^k(0) = 1$), $A^k(x)$ — нуждающаяся в определении функция. С учетом введенной нормировки из (2.7) следует

$$\frac{\partial A^k}{\partial x} = -A^k \frac{(B^1 \partial Z'^k / \partial x, \varphi^k)}{(B^1 Z'^k, \varphi^k)} - \frac{(B^1 \partial Z_0^\alpha / \partial x, \varphi^k)}{(B^1 Z'^k, \varphi^k)} e^{i(\alpha_0 - \alpha^k)x} \quad (2.8)$$

Первый член связан с влиянием непараллельности течения на волновое число α^k и может рассматриваться как поправка к основному приближению, которая рассчитывалась в [12]. Второй член правой части является источником волн Толмина — Шлихтинга, связанным с наличием звуковой волны Z_0^α , и представляет особый интерес. Опуская первый член, легко получить

$$A^k = A_0^k + \int_{x_0}^x K(x_1) \exp[i(\alpha_0 - \alpha^k)x_1] d\bar{x}_1 \quad (2.9) \\ K = - \frac{(B^1 \partial Z_0^\alpha / \partial x, \varphi^k)}{(B^1 Z'^k, \varphi^k)}$$

Если $A_0^k = 0$, то форма волны Толмина — Шлихтинга имеет вид

$$Z^k = \exp(i(\alpha^k x - \omega_0 t + \beta_0 z)) \int_{x_0}^x K(x_1) \exp[i(\alpha_0 - \alpha^k)x_1] dx_1$$

Пусть на интервале (x_0, x) значения K и α^h изменяются мало, тогда

$$Z^h = K(x_0) \exp(i\alpha^h x - \omega_0 t + \beta_0 z) \frac{\exp[(i(\alpha_0 - \alpha^h)x) - \exp(i(\alpha_0 - \alpha^h)x_0)]}{i(\alpha_0 - \alpha^h)}$$

Если мы находимся в неустойчивой области ($\text{Im}(\alpha^h) < 0$), а α_0 — реальное, то

$$Z^h = -K(x_0) \frac{\exp(i\alpha_0 x_0)}{i(\alpha_0 - \alpha^h)} \exp\{i[(\alpha^h(x - x_0) + \beta_0 z - \omega_0 t)]\}$$

Таким образом, в потоках с медленным изменением параметров распределенное воздействие монохроматической звуковой волны в неустойчивой области, включенной в сечении $x = x_0$, равносильно сосредоточенному, порождающему волну Толмина — Шлихтинга, модуль амплитуды которой равен $|K|/|\alpha_0 - \alpha^h|$. Чем меньше разница в волновых числах звуковых возмущений и волн Толмина — Шлихтинга, тем больший эффект порождения.

В устойчивой области ($\text{Im}(\alpha^h) > 0$) $Z^h = K(x_0) \exp(i\alpha^h x_0) / (i(\alpha_0 - \alpha^h)) \times \exp(i(\beta_0 z - \omega_0 t))$. Поэтому внутри пограничного слоя не развивается истинные волны Толмина — Шлихтинга, в направлении x отсутствует волновое движение. По-видимому, этот факт подтверждается экспериментами [14], когда удавалось возбудить волну Толмина — Шлихтинга звуком только в неустойчивой области. Учитывая, что эффективное порождение и усиление гидродинамических волн начинаются в неустойчивой области, полезно знать значение $K(x_0)$, когда x_0 соответствует нижней ветви кривой нейтральной устойчивости. При приближенных расчетах можно принять, что вблизи кривой нейтральной устойчивости под действием звука возникает волна Толмина — Шлихтинга с интенсивностью $|K(x_0)|/|\alpha_0 - \alpha^h|$, которая независимо начинает усиливаться в неустойчивой области.

Следует отметить, что приведенные оценки — приближенные. Точное выражение для волн Толмина — Шлихтинга (2.9) более сложное из-за зависимости K и α^h от x .

3. Подробно исследовался случай пограничного слоя на плоской теплоизолированной поверхности. Аналогично [12] расчеты проводились в безразмерных координатах

$$\eta = \frac{y}{\delta(x)}, \quad X = \frac{U_e \delta(x)}{v_e}, \quad \zeta = \frac{U_e}{v_e} z, \quad \tau = \frac{U_e^2 t}{v_e} \quad (3.1)$$

где $\delta(x) = \sqrt{\nu x v_e / U_e}$, а индексом e обозначены параметры течения на границе пограничного слоя. В новых переменных параметры основного потока зависят только от η , а система (2.1) переписывается в виде

$$(Z_i)_\eta - B_{ij}^\circ Z_j - \frac{1}{2} B_{ij}^1 (Z_j)_X = -\frac{1}{2X} B_{ij}^1 (Z_j)_\eta$$

Все рассуждения предыдущего параграфа могут быть повторены здесь с учетом того, что вместо α нужно рассмотреть величину θ_x , где θ — комплексная фаза волны. Для звуковых возмущений $Z_0^\alpha \sim \exp[i\theta_0(X)]$, где $\theta_0(X) = \alpha_0 x$. Аналогично для волны Толмина — Шлихтинга $Z^h \sim \exp[i\theta^h(X)]$,

где $\theta^h(X) = \theta^h(X_0) + \int_{x_0}^x \alpha^h(x_1) dx_1$. Разница между зависимостью фазы от x

для звуковых волн и волн Толмина — Шлихтинга состоит в том, что для первых волновое число α_0 постоянно, а для собственных колебаний (волны Толмина — Шлихтинга) зависит от x параметрически. Наконец, вместо (2.8) можно записать соотношение

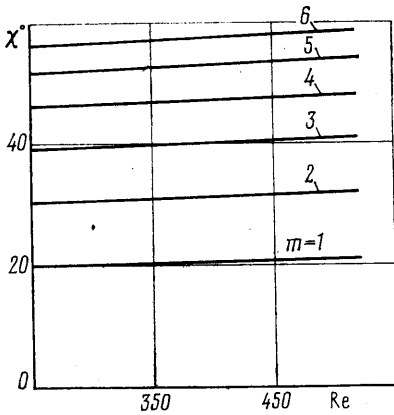
$$\frac{dA^k}{dX} = -A^k \frac{(B^1 \partial Z'^k / \partial X, \varphi^k)}{(B^1 Z'^k, \varphi^k)} - \frac{(B^1 (\partial Z_0^\alpha / \partial X + (\eta/2X) \partial Z_0^\alpha / \partial \eta), \varphi^k)}{(B^1 Z'^k, \varphi^k)} e^{i(\theta_0 - \theta^k)} \quad (3.2)$$

а (2.9) принимает вид

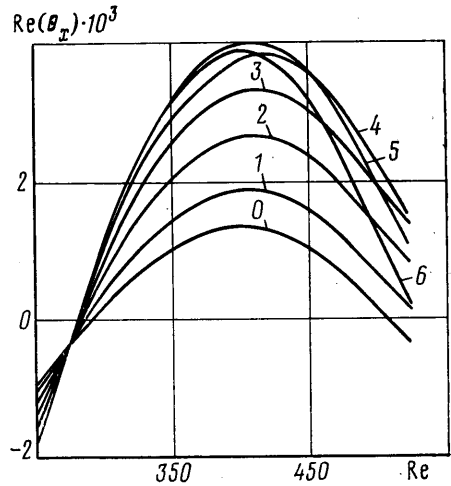
$$A^k = A_0^k + \int_{x_0}^x K(X_1) \exp[i(\theta_0 - \theta^k)] dX_1$$

Второй член правой части (3.2) отличается от соответствующего члена в (2.8) из-за введенной замены переменных (3.1).

Расчеты проведены в пренебрежении членами $\sim 1/X$, если не понижался порядок системы (2.1). Более подробно о роли этих членов можно



Фиг. 1



Фиг. 2

прочитать в [12]. Здесь только отметим, что они вносят малую поправку в значения α^k и распределение возмущений по пограничному слою, которая может быть найдена независимо от расчетов по возбуждению волн Толмина — Шлихтинга. Влияние этих поправок на взаимодействие разного типа волн следует ожидать в последующих приближениях к точному решению задачи о взаимодействии звуковой волны с непараллельным течением в пограничном слое. Неравные нулю коэффициенты B_{ij}^1 , использованные в расчетах, имеют вид

$$B_{12}^0 = 1, \quad B_{21}^0 = X^2 \frac{\theta_\tau}{\nu}, \quad B_{23}^0 = X \frac{U_\eta}{\nu}$$

$$B_{33}^0 = \frac{T_\eta}{T}, \quad B_{34}^0 = -X \theta_\tau, \quad B_{36}^0 = -\gamma X M^2 \theta_\tau, \quad B_{37}^0 = X \frac{\theta_\tau}{T}$$

$$B_{44}^0 = 1, \quad B_{54}^0 = X^2 \frac{\theta_\tau}{\nu}, \quad B_{56}^0 = T X^2 \frac{\theta_\tau}{\nu}, \quad B_{63}^0 = -X \frac{\theta_\tau}{T}$$

$$B_{78}^0 = 1, \quad B_{83}^0 = \sigma X \frac{T_\eta}{\nu}, \quad B_{86}^0 = (\gamma - 1) M^2 \sigma X \theta_\tau \frac{T}{\nu}$$

$$B_{87}^0 = -\sigma X \frac{\theta_\tau}{\nu}, \quad B_{21}^1 = X \frac{U}{\nu}, \quad B_{23}^1 = X \frac{T}{\nu}, \quad B_{31}^1 = -1$$

$$B_{36}^i = -\gamma M^2 U, \quad B_{37}^i = \frac{U}{T}, \quad B_{34}^i = X \frac{U}{\nu}$$

$$B_{63}^i = -\frac{U}{T}, \quad B_{66}^i = -(\gamma-1) M^2 \sigma X \frac{U}{\nu}, \quad B_{67}^i = \sigma X \frac{U}{\nu}$$

Здесь U, T — скорость и температура основного течения в пограничном слое на плоской пластине, ν — вязкость, M — число Маха, γ — отношение удельных теплоемкостей, σ — число Прандтля, $\theta_x, X\theta_x$ — безразмерные частота и волновое число в Z -направлении.

При заданных таким образом B_{ij}^i система (2.1) восьмого порядка может быть сведена к эквивалентной системе шестого порядка и второго,

которые могут решаться последовательно. Для этого достаточно воспользоваться стандартными преобразованиями Дана — Лия [15]. Это существенно упрощает расчет, так как в этом случае и задача на собственные значения и сопряженная определяются системой шестого порядка.

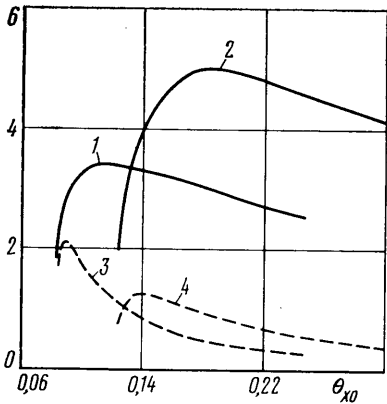
Расчеты проведены при числе Маха $M=2,0$; $\theta_x=0,91 \cdot 10^{-4}$; $\sigma=0,72$; $\gamma=1,4$ для разных значений чисел $X\theta_x, X$.

В результате вычислений находились собственные значения волновых чисел волн

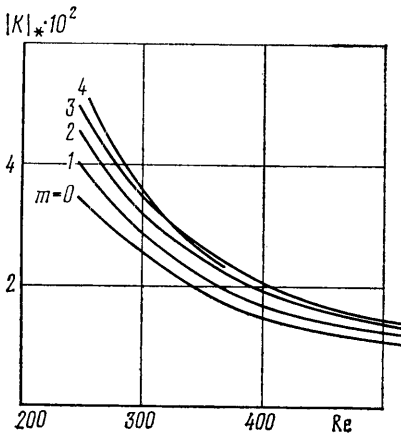
$$\theta_x^k = \theta_{x_r}^{m,n} + i\theta_{x_i}^{m,n}$$

Индекс $m=0, \dots, 6$ соответствует расчетным значениям параметра $250 \cdot \theta_x = 0; 0,03; 0,05; 0,07; 0,09; 0,11; 0,13$, а $n=1, \dots, 6$ — параметрам $X=250; 320; 370; 410; 450; 520$. Значения угла распространения

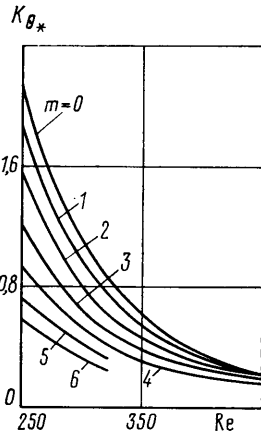
рассчитанных волн Толмина — Шлихтинга $\chi = \arctg(X\theta_x/\theta_{x_r})$ и соответствующие степени пространственного усиления θ_{x_i} приведены на фиг. 1 и 2. Следует отметить, что общепринятое пространственное усиление $\alpha_i = -\theta_{x_i}/2$.



Фиг. 3



Фиг. 4



Фиг. 5

Волна Толмина — Шлихтинга может возбуждаться звуковой волной с произвольным волновым числом θ_{x_0} при условии $X\theta_{x_0} = X\theta_{x_i}^k$. Зависимость интенсивности источника $|K| \cdot 10^2$ (линии 1, 2) и параметра $K_g = |K|/|\theta_{x_i}^k - \theta_{x_0}|$ (линии 3, 4) от θ_{x_0} приведены на фиг. 3 ($X=250$). Кривые 1, 3 рассчитаны для $\theta_x=0$; 2, 4 для $250 \cdot \theta_x=0,07$ ($m=3$). Видно, что

все зависимости имеют максимумы $|K|_*$, K_{0*} , характеризующие наиболее эффективное порождение волн Толмина — Шлихтинга — либо локальное, либо интегральное. Соответствующие максимальные значения в зависимости от числа Рейнольдса X приведены на фиг. 4, 5.

Все приведенные результаты получены при условии, что амплитуда продольной скорости в падающей волне и максимальное значение амплитуды собственных колебаний массового расхода внутри пограничного слоя равны единице.

Из приведенных результатов видно, что эффективность порождения волн Толмина — Шлихтинга повышается с уменьшением числа Рейнольдса. С другой стороны, в устойчивой области (низкие числа Рейнольдса), несмотря на интенсивное локальное порождение, не формируется истинная волна Толмина — Шлихтинга. Поэтому зависимости на фиг. 5 приведены только для неустойчивой области. Вблизи нижних ветвей кривой нейтральной устойчивости возможно формирование волны Толмина — Шлихтинга большей амплитуды, чем амплитуда падающей звуковой волны.

Интересно сопоставить амплитуды колебаний массовых расходов наведенной звуковым полем (см. [10]) и порожденной волны Толмина — Шлихтинга. Например, для $m=0$ вблизи нижней ветви кривой нейтральной устойчивости амплитуда наведенных возмущений массового расхода превышает амплитуду падающей звуковой волны примерно в 7 раз. Поэтому интенсивность волны Толмина — Шлихтинга, сформированная вблизи нейтральной точки (с учетом данных фиг. 5), примерно в 5 раз ниже интенсивности наведенных звуковым полем возмущений в отличие от предположения Мэка [9] о их равенстве.

С другой стороны, при слабом внешнем звуковом поле положение перехода x_{tr} слабо зависит от начального уровня возмущений. Действительно, $x_{tr}-x_0 \sim \ln(A/\epsilon)$, где x_0 — положение потери устойчивости, A — характерная амплитуда возмущений в области переходов, ϵ — начальный уровень волны Толмина — Шлихтинга. При $A \gg \epsilon$ x_{tr} — медленно меняющаяся функция ϵ . Этим объясняется удовлетворительное предсказание положения перехода в [9, 16] для аэродинамической трубы с низким уровнем возмущений, несмотря на приближенность значения ϵ и произвольность направления распространения звуковых волн, принятых Мэком.

ЛИТЕРАТУРА

1. Morkovin M. V. Critical evolution of transition from laminar to turbulent shear layers with emphasis on hypersonically travelling bodies. — AFFDL TR-68-149, 1969, 140 p.
2. Решотко Э. Устойчивость ламинарного пограничного слоя и его переход в турбулентный. — В кн.: Механика (Новое в зарубежной науке). Т. 21. М.: Мир, 1979, с. 11–57.
3. Довгаль А. В., Качанов Ю. С., Козлов В. В., Левченко В. Я., Максимов В. П. Возникновение возмущений в пограничном слое. — В кн.: Развитие возмущений в пограничном слое. Новосибирск, 1979, с. 4–22.
4. Айзин Л. Б., Поляков Н. Ф. Генерация волны Толмина — Шлихтинга звуком на отдельной неровности поверхности, обтекаемой потоком. Новосибирск, 1979. (Препринт № 17, ИТПМ СО АН СССР).
5. Качанов Ю. С., Козлов В. В., Левченко В. Я., Максимов В. П. Преобразование внешних возмущений в волны пограничного слоя. — В кн.: Численные методы механики сплошной среды. Новосибирск, 1978, т. 9, № 2, с. 49–59.
6. Максимов В. П. Возникновение волн Толмина — Шлихтинга в осциллирующих пограничных слоях. — В кн.: Развитие возмущений в пограничном слое. Новосибирск, 1979, с. 68–75.
7. Жигулев В. Н., Сидоренко Н. В., Тумин А. М. О генерации волн неустойчивости в пограничном слое внешней турбулентностью. — ПМТФ, 1980, № 6, с. 43–49.
8. Гапонов С. А., Маслов А. А. Развитие возмущений в сжимаемых потоках. Новосибирск: Наука, 1980. 144 с.
9. Mack L. M. Linear stability theory and the problem of supersonic boundary-layer transition. — AIAA Journal, 1975, v. 13, № 3, p. 278–289.
10. Гапонов С. А. Взаимодействие сверхзвукового пограничного слоя с акустическими возмущениями. — Изв. АН СССР. МЖГ, 1977, № 6, с. 51–56. •

11. Гапонов С. А., Дрыжов А. С. Возбуждение возмущений в пограничном слое звуком.— В кн.: Развитие возмущений в пограничном слое. Новосибирск, 1979, с. 118—126.
12. Гапонов С. А. Влияние непараллельности течения на развитие возмущений в сверхзвуковом пограничном слое.— Изв. АН СССР. МЖГ, 1980, № 2, с. 26—31.
13. Grosch C. E., Salwen H. The continuous spectrum of the Orr-Sommerfeld equation. Pt 1. The spectrum and the eigenfunctions.— J. Fluid Mech., 1978, v. 87, № 1, p. 33—54.
14. Довгаль А. В., Козлов В. В. Влияние акустических возмущений на структуру течения в пограничном слое с неблагоприятным градиентом давления. ИТПМ СО АН СССР, Новосибирск, 1981. 19 с. (Препринт Ин-та теорет. и прикл. механики, № 8).
15. Линь Цзяцзяо. Теория гидродинамической устойчивости. М.: Изд-во иностр. лит., 1958. 194 с.
16. Mack L. M. A numerical method for the prediction of high-speed boundary-layer transition using linear theory.— In: Aerodynamic Analysis Requiring Advances Computers. Pt 1. Washington, 1975, p. 101—123.

Новосибирск

Поступила в редакцию
4.I.1982